# 基于 STM32 的光伏储能 DC-DC 变换器设计

刘一儒<sup>1</sup> 王 宇<sup>1</sup> 孟丽因<sup>1</sup> LIU Yiru WANG Yu MENG Linan

# 摘要

为满足光伏储能系统中宽范围输入与稳定输出的电力转换需求,文章设计了一种基于 STM32F103C6T6 的高效光伏储能双向 DC-DC 变换器,采用 Buck-Boost 拓扑和全桥同步整流技术,结合 PID 闭环控制与 MPPT 扰动观察算法,实现了输入  $25\sim50$  V 宽范围、输出 30 V/5 A 的稳定转换。通过优化 IR2184S 驱动电路,系统效率超过 90%,动态响应速度达  $80~\mu s$ ,输出电压波动小于  $\pm 0.03$  V。测试结果表明,在负载变化和输入电压波动条件下,系统电压调整率仅为 0.033%,验证了设计方案的有效性和稳定性,为光 伏储能系统提供了可靠的电力转换解决方案。

# 关键词

双向直流变换器; 嵌入式系统; PID 算法; 最大功率跟踪

doi: 10.3969/j.issn.1672-9528.2025.08.020

# 0 引言

随着可再生能源的普及,光伏发电系统在分布式能源领域愈发受瞩目。鉴于 DC-DC 变换器对提升光伏系统能量利用效率与稳定性举足轻重,其设计优化至关重要。本文聚焦基于 STM32 的光伏发电系统 DC-DC 变换器,以 STM-32F103C6T6 单片机为核心,借双向 DC-DC 电路实现电能转换,利用单片机生成的 PWM 信号驱动电路以保障负载电压稳定。设计融入 PID 与 MPPT 算法,依电流、电压反馈达成

1. 辽宁工业大学电子与信息工程学院 辽宁锦州 121000

恒压闭环控制、最大功率点跟踪及电池组充放电管理。经模拟光伏发电实验,系统直流电压输出稳定,效率超90%,通过优化电路与算法,为光伏系统提供了高效可靠方案。

#### 1 总体设计

本系统以 STM32 单片机为核心,构建了基于 PWM 控制的高效 DC-DC 变换器。引入 PID 与 MPPT 算法,实现恒压输出、最大功率点跟踪及电池充放电管理。系统由双向 DC-DC、辅助电源、驱动、电流采样与显示模块组成,在模拟光伏条件下运行稳定、效率超 90%,整体结构如图 1 所示。

- surface: joint placement and passive beamforming design with 3D beam flattening[J].IEEE transactions on wireless communications, 2021,20(7):4128-4143.
- [13] KHALILI A, MONFARED E M, ZARGARI S, et al.Resource management for transmit power minimization in UAV-assisted RIS HetNets supported by dual connectivity[J]. IEEE transactions on wireless communications,2022,21(3): 1806-1822.
- [14] PAN Y J, WANG K Z, PAN C H, et al.UAV-assisted and intelligent reflecting surfaces-supported terahertz communications[J].IEEE wireless communications letters, 2021,10(6):1256-1260.
- [15] HUA M, YANG L X, WU Q Q, C. et al.UAV-assisted intelligent reflecting surface symbiotic radio system[J].IEEE transactions on wireless communications, 2021, 20(9): 5769-5785.

- [16] XU Y, ZHANG T K, LIU Y W, et al. Computation capacity enhancement by joint UAV and RIS design in IoT[J]. IEEE internet of things journal, 2022, 9(20): 20590-20603.
- [17] GE M X, WANG L Y, ZHANG G L, et al. Joint optimization of task offloading and resource allocation in UAV-assisted mec networks[C]//2021 China Automation Congress (CAC). Piscataway:IEEE, 2021: 1879-1884.
- [18] LIU C J, ZHONG Y L, WU R L, et al. Deep reinforcement learning based 3D-trajectory design and task offloading in UAV-enabled MEC system[J]. IEEE transactions on vehicular technology, 2024,74(2):3185-3195.

#### 【作者简介】

高航(2000—),男,辽宁大连人,硕士研究生,研究方向: 无线与移动通信技术。

(收稿日期: 2025-02-28 修回日期: 2025-07-29)

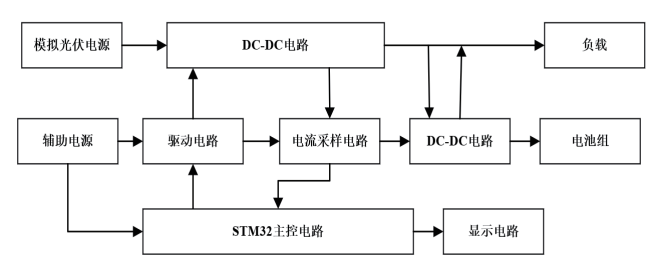


图 1 整体结构框图

# 2 系统硬件设计

为了实现光伏能量的高效转换与智能控制,系统设计以STM32F103C6T6 单片机为核心,结合双向 DC-DC 变换电路及多个功能模块,完成对能量流动的管理与系统运行状态的实时监测<sup>[1]</sup>。其硬件结构包括主控模块、电源变换模块、驱动与检测模块等。

# 2.1 主控电路设计

主控模块采用 STM32F103C6T6 单片机,该芯片基于 ARM Cortex-M3 内核,主频最高达 72 MHz,具备较强的运算能力和丰富的外设资源,适用于光伏控制系统中对多任务调度与算法处理的需求。系统最小化设计包括晶振时钟、复位电路、电源滤波电容及串口下载接口等,保障主控芯片稳定运行与程序调试。在供电方面,系统由 12 V 电源通过线性稳压器 JW5018 降压至 3.3 V,为主控芯片及低压模块供电,确保系统长期稳定运行 [2]。

本次设计采用 STM32F103C6T6 单片机作为主控芯片, 3.3 V 电源通过滤波电容 C4、C5、C6、C7、C8 给单片机供电。主控电路原理图如图 2 所示。

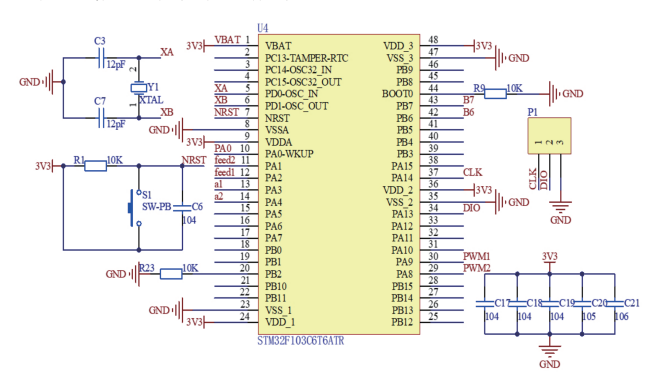


图 2 主控电路原理图

#### 2.2 DC-DC 全桥整流电路设计

本系统采用双向 Buck-Boost 拓扑结构,实现光伏电能与储能电池之间的双向转换。主控芯片通过输出 PWM 信号控制 MOSFET 开关状态,从而调节输出电压,实现升压(Boost)或降压(Buck)功能<sup>[3]</sup>。全桥同步整流结构进一步提升了转换效率并减小功率损耗。在典型运行场景下,系统输入电压范围为 25~50 V,输出稳定在 30 V,满足锂电池组的充放电控制要求。该拓扑结构具备转换效率高、动态响应快及结构

紧凑等优点,适用于分布式储能系统<sup>[4]</sup>。本设计中,DC-DC 电路输出稳定至 30 V。DC-DC 全桥整流电路如图 3 所示。

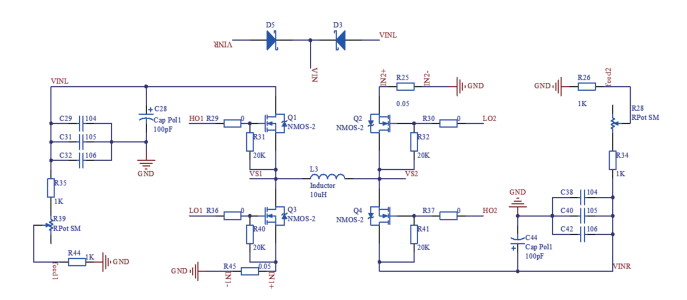


图 3 DC-DC 全桥整流电路图

# 2.3 MOS 驱动与采样电路设计

为提升 MOSFET 开关控制的精度与可靠性,系统驱动部分选用 IR2184S 高低边双路驱动芯片,具备欠压保护、死区时间控制等功能,能有效防止上下桥臂直通。该芯片接收主控芯片输出的 PWM 信号,驱动功率 MOS 管实现高效切换。电流采样部分选用 TPH5201-TR 霍尔电流传感器,其具备非接触测量、高灵敏度与线性输出特性,能够实时检测系统输出电流变化,为 PID 控制与 MPPT 算法提供有效数据支撑 <sup>[5]</sup>。 MOS 驱动电路原理图如图 4 所示。

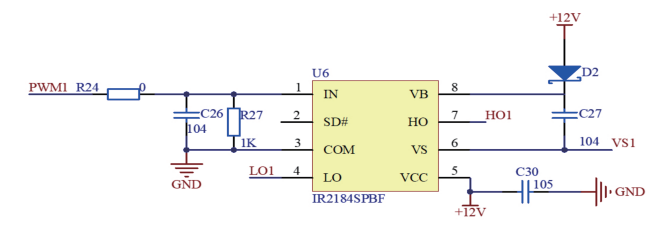


图 4 电源电路原理图

#### 3 系统软件设计

#### 3.1 主程序设计

系统以 STM32F103C6T6 为主控模块,通过 PWM 调节输出占空比,利用多通道 ADC 实现采样,采用模块化编程提升程序可读性与可维护性,可实现 PWM 占空比调节、多通道 ADC 采样与 OLED 显示等功能。程序初始化后持续检测 IO 信号变化,快速响应中断并调整输出,确保直流电压稳定与 MPPT 功能的实现。主程序流程如图 5 所示。

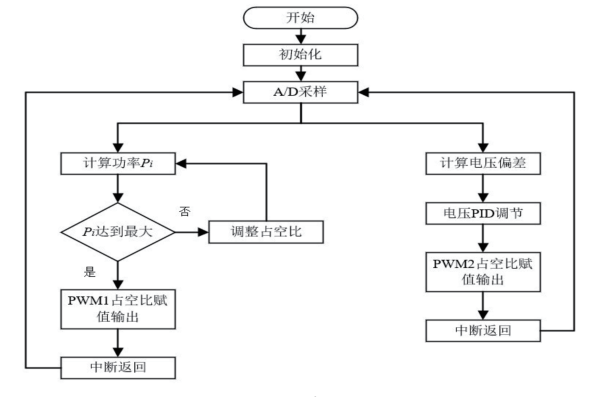


图 5 主程序流程图

#### 3.2 MPPT 算法程序设计

MPPT(最大功率点追踪)技术广泛应用于太阳能发电系统,以最大化太阳能电池板输出功率。MPPT 控制系统通过实时监测电压和电流,动态调整电池板工作状态,提升能量转换效率和系统性能。结合 STM32 等控制器及算法,可以实现高效稳定的光伏变换器 MPPT 控制  $^{[6]}$ 。扰动观察法是最常用的 MPPT 算法,操作简单、实现方便、对检测精度要求低。其原理是采样光伏输出电压  $U_o$  和电流  $I_o$ ,计算输出功率  $P_o$ ;引入扰动电压  $\Delta U$  后再次采样  $U_o$ '、 $I_o$ '和  $P_o$ '。若输出功率增加,表明位于最大功率点左侧,继续正向扰动;若输出功率减小,则位于右侧,进行反向扰动。本文在该算法基础上引入动态步长调节策略,提升了系统的跟踪效率与响应速度,更好地适应实际光照条件变化。MPPT 算法实现流程图如图 6 所示。

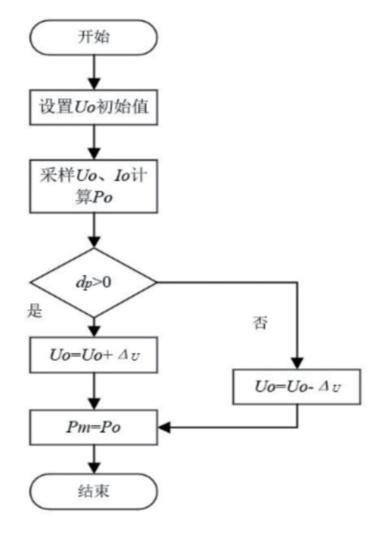


图 6 MPPT 流程图

# 4 系统测试

# 4.1 算法性能测试

在相同光照条件下,对比传统扰动观察法(P&O)与本文优化的动态步长 MPPT 算法性能(基于 STM32 实时调整步长)。测试在恒定光照强度约为 1 000 W/m² 条件下进行,环境温度为 25 ℃。通过可编程电源模拟太阳能电池板特性,STM32 的 ADC 模块以 10 kHz 频率采样电压、电流信号,控制周期为 10 ms。每组数据统计 100 次扰动周期的平均值,测试结果如表 1 所示。

表 1 MPPT 算法效率对比

<b>佐子米</b> 刑	平均跟踪	响应时间	电压波动率	平均输出
算法类型	效率 /%	/s	/%/	功率 /W
传统 P&O	92.1	1.2	±1.5	23.8
动态步长	96.7	0.4	±1.8	25.2

由表 1 可见,本文提出的动态步长扰动观察法在平均跟

踪效率、响应速度及电压稳定性方面均优于传统算法,特别 是在稳定性方面表现更佳,验证了改进算法在动态光照条件 下的适应性和优越性。

#### 4.2 数据采集与分析

为验证系统在负载突变时的动态响应性能,通过 STM32 输出 PWM 控制信号,并结合 ADC 模块采集负载变化下的输出电压/电流信号,记录其瞬态变化过程<sup>[7]</sup>。PWM 信号频率设置为 20 kHz,占空比范围 0%~100%,用于驱动 DC-DC 变换器主功率器件,实现闭环稳压控制。图 7 为正常工况下的PWM 驱动波形图。

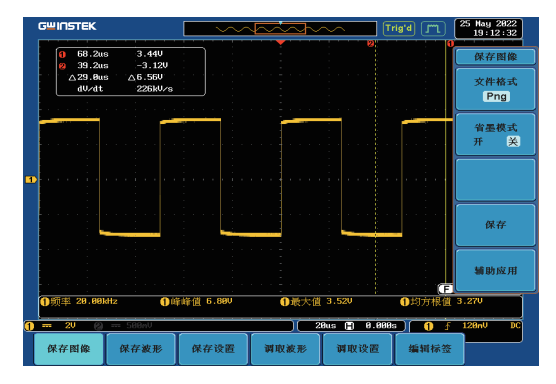


图 7 PWM 驱动波形图

采集的动态响应数据导出至 MATLAB,进行时域及频域分析,结果如图 8 所示。

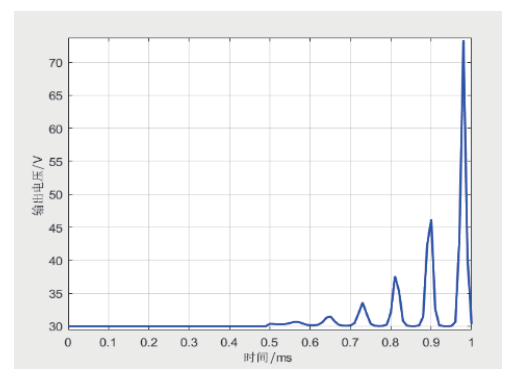


图 8 时域 / 频域分析图

由图 8 可见,系统电压能在短时间内相对稳定,响应无过冲,振荡幅度较小,说明所设计控制策略具有良好的快速性与稳定性。

#### 4.3 效率 - 负载特性测试

本设计采用滑动变阻器作为负载, 当整个光伏储能变换器开始运行, 输入电压存在波动时, 锂电池和输入电压同时给负载供电; 当输入电压稳定时, 输入电压同时给锂电池和负载供电。在不同负载电流下记录输入/输出功率, 计算效率并生成曲线 <sup>[8]</sup>。效率测试数据如表 2 所示。通过对不同负载电流下的输入和输出功率进行记录,可以有效评估光伏储能变换器的性能。根据测试数据, 计算出系统在各负载条件

下的转换效率。这些结果为理解系统在实际应用中的表现提 供了重要依据。效率曲线如图9所示。

表 2 负载效率测试数据

负载电流 /A	输入功率 /W	输出功率 /W	效率 /%	
1.0	32.1	30.0	93.5	
2.5	80.3	75.0	95.2	
5.0	160.5	150.0	90.8	

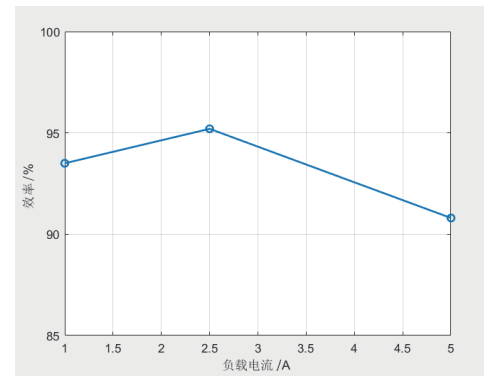


图 9 效率曲线图

# 4.4 测试结果分析

在各部分电路测试完成后,对整个光伏储能 DC-DC 变 换器进行集成测试。在输入电压范围从 25~50 V 变化的条件 下,连接恒定阻性负载(6Ω),使用多功能数字万用表对系 统输入电压、输出电压和输出电流进行多次测量 (每组电压 下测量 5 次取平均值),以评估系统稳压与供电能力。测试 结果如表 3 所示。

表 3 测试结果表

\\\_\*\	电源电压	输出电压	输出电流	输出功率
次数	$U_i$ /V	$U_o$ /V	$I_o$ /A	$P_o$ /W
1	25	30.04	5.08	152.6
2	35	30.03	5.06	153.3
3	50	30.05	5.05	154.0

根据多次测量的数据可知,基于 STM32 的光伏储能变 换器电路可以将范围为 25~50 V 输入电压,输出电压稳定在 30 V, 同时将输出电流稳定在 5 A 的范围。此时通过测试结 果表可以计算系统的电压调整率, 计算公式为:

$$S_u = \left| \frac{U_{o2} - U_{o1}}{U_{o1}} \right| \times 100\% \tag{1}$$

当  $U_{o2}$  为 50 V 的输出电压, 当  $U_{o1}$  为 25 V 的输出电压, 此时的电压调整率通过计算  $S_{\nu} = 0.033$  289%

在输入电压  $U_i = 25-50 \text{ V}$ ,输出电压 30 V,输出电流 5 A的条件下, 计算公式为:

$$\eta = \frac{P_0 + P_B}{P_I} \tag{2}$$

由计算效率的公式可知,在多次测量的数据中计算的效 率均大于90%。

#### 5 结论

本文设计了一种基于 STM32F103C6T6 的光伏储能双向 DC-DC 变换器,采用 Buck-Boost 拓扑和全桥同步整流技术, 结合 PID 闭环控制与 MPPT 算法,实现了 25~50 V 宽输入范 围下 30 V/5 A 的稳定输出,系统效率超过 90%。通过优化驱 动电路和集成实时监测模块,动态响应速度达到80μs,电压 调整精度±0.03%。测试结果表明,系统在负载变化和输入电 压波动时均能保持稳定输出, 电压调整率仅为 0.033%, 验证 了设计的高效性和可靠性, 为光伏储能系统提供了切实有效 的电力转换解决方案,具有重要的应用价值与推广前景。

#### 参考文献:

- [1] 杨川, 余坤蓉, 牟琪琦, 等, 光伏发电三端口 DC-DC 变换 器设计 [J]. 电子制作, 2022, 30(6):7-10.
- [2] 陶慧, 赵世彬, 贾春华. 光伏发电最大功率点跟踪 Boost 变换器动力学特性[J]. 电力系统及其自动化学报, 2022, 34(5): 26-34.
- [3] 王丙元, 姜建, 基于滑模预测控制的光伏储能双向 DC/DC 变换器 [J]. 电气自动化,2022,44(4):29-33.
- [4] 史永胜, 余强, 李雷, 等. 光伏混合储能双向 DC/DC 变换 器非线性控制 [J]. 电力电子技术,2019,53(12):28-31.
- [5] 戴寅松,徐长帅,马思宇.基于STM32的太阳能充电系统 设计 [J]. 信息技术与信息化,2019(2):43-46.
- [6] 关志艳. 三端口 DC-DC 变换器的设计与实现 [J]. 山西电 子技术, 2022(4):12-14.
- [7] 张大磊, 李媛媛. 光伏模拟器的设计 [J]. 电子技术与软件 工程,2023(3):99-102.
- [8] 方子文, 窦英华, 杨亚红, 等, 基于 Superbuck 变换器的光伏 MPPT 调节器控制策略 [J]. 电源学报, 2022, 20(5): 22-30.

#### 【作者简介】

刘一儒(2000-),女,辽宁辽阳人,硕士,研究方向: 电子与通信技术及其应用。

王宇(1974-), 男, 辽宁锦州人, 学士, 研究方向: 传感器技术与传动应用。

孟丽囡(1967-),女,辽宁锦州人,硕士,研究方向: 电力电子与电力传动。

(收稿日期: 2025-04-15 修回日期: 2025-08-06)